

# V-5 傾斜密度ブリュームの流動特性について

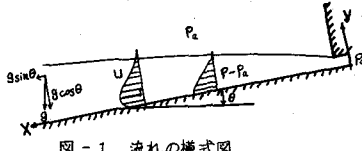
九州大学 工学部 正員 横東一郎  
 九州大学 工学部 正員 小松利光  
 九州大学 工学部 学生員 下田五郎

1. まえがき 同じく流体より重い流体が傾斜した壁面に沿って下降する傾斜下降ブリュームの流れは、海底や湖底における turbidity flow の挙動に関連する問題であるが、Ellison-Turner<sup>1)</sup>は塩淡水を用いて傾斜角θを変えて傾斜下降ブリュームの実験を行なう。流れが傾斜角に応じて決まる一連の overall Richardson 数と連行係数  $C_f$  に漸近することを示し実験曲線を与えている。本文は表面密度噴流で研究した乱流構造の浮力効果による変化に関する知見を応用、上述の問題を理論的に考察し、新たに実験を行なって傾斜ブリュームの流れ特性を検討したものである。

2. 理論的考察 図-1 の傾斜下降 Plume を考え、単位質量あたりの

平均浮力を  $B = g/\rho_a - g/\rho_b \cdots \cdots (1)$  とする。流速分布、浮力分布、乱れ強度、混合距離の分布は相似形を仮定し、次の形におく。

$$\frac{U}{U_1} = f(\eta), \quad \frac{B}{B_1} = m(\eta), \quad \sqrt{C^2} l = (U_1 h) g_m B_m f(\eta) \cdots \cdots (2)$$



ここに、 $\eta = y/h$ 、 $U_1, B_1$ ；断面の最大流速、底面浮力、 $\sqrt{C^2} l = U_1 h$ 、 $B_m = \beta_m h$ 、 $h$ ；Plume幅(1/2U\_1と1/2B\_1の幅)拡散方程式、運動方程式、平均流のエネルギー方程式を $y=0$ から $h$ まで積分し、式(2)を代入する。また、壁面のせん断応力を $\tau_y/B_1 = 1/2 C_f U_1^2$ とおく。

浮力束の保存式は  $d\alpha_{ws} U_1 B_1 h = N_0 (= \text{const.}) \cdots \cdots (3)$  となり、次式で定義される overall Richardson 数

$R_i = N_0 \cos \theta / U_1^3 \cdots \cdots (4)$  を導入すると、運動量の式、平均流のエネルギー式は若干の計算の後それぞれ次のようになる。

$$\frac{d}{dx} \left[ \alpha_{ws} h R_i^{-1/6} (1 + \gamma R_i) \right] = R_i^{-1/6} \left( R_i \tan \theta \frac{\alpha_{ws}}{\alpha_{ws}} - \frac{C_f}{2} \right) \cdots \cdots (5)$$

$$(1 + 2\gamma R_i) \frac{dh}{dx} - (1 - \frac{2}{3}\gamma R_i) \frac{h}{R_i} \frac{dR_i}{dx} - \frac{2}{3} R_i \tan \theta = -\frac{2}{3} \frac{\beta_m \beta_b}{\alpha_{ws}} \int_0^\infty h \left( \frac{df}{d\eta} \right)^2 d\eta \cdots \cdots (6)$$

ここで、 $X_1$  は  $R_i \rightarrow 0$  (均一流体の壁面噴流) で  $g_m \rightarrow g_s$ 、 $\beta_m \rightarrow \beta_s$  すると  $X_1 = g_s \beta_s \int_0^\infty h \left( \frac{df}{d\eta} \right)^2 d\eta \cdots \cdots (7)$  である。式(6)の  $X_1(R_i)$  は運動粘性係数、浮力効果のために減少することを示す関数で、表面密度噴流の乱れ構造の式で浮力  $B$  の代りに  $y$  方向の成分  $B \cos \theta$  で書き換えれば、全く同様な議論がなされる、結果だけを以下に示すと

$$X_1(R_i) = \frac{\beta_m \beta_b}{\beta_s \beta_s} \frac{\sqrt{1 - \lambda_{ws} R_i}}{(1 + \lambda_{ws} C_f R_i)} \cdots \cdots (8)$$

上式で  $\alpha$ 、 $r$  は流速、浮力分布に関する断面特性値(たとえば  $\alpha_{ws} = \int f dm dn$ )、 $\lambda_{ws}$ 、 $\lambda_{ws}$  は乱れの分布、 $i(\eta)$ 、 $j(\eta)$  及び  $df/d\eta$ 、 $|dm/dn|$  に関する断面特性値(たとえば  $\lambda_1 = \int f dm dn / \alpha_{ws} \int f^2 dm dn$ )、 $\lambda_{ws}$ 、 $\lambda_{ws}$  は拡散に関する定数で、 $\lambda_{ws} = 1.2$ 、 $\lambda_{ws} = 2.8$  である。なお、 $C_f$  は均一流体の wall jet に関する Schwarz の実験から  $C_f = 1.11 \times 10^{-2}$  とする。

3. 傾斜 Plume の流れと連行係数 基本式(5)、(6)を計算に便利なように変形すると以下のようなになる。

$$\frac{dh}{dx} = \frac{1}{3} \frac{2 - \gamma R_i}{1 + \gamma R_i} \left( \frac{h}{R_i} \frac{dR_i}{dx} \right) + \frac{(\alpha_{ws} R_i \tan \theta - C_f/2)}{\alpha_{ws} (1 + \gamma R_i)} \cdots \cdots (9)$$

$$\alpha_{ws} (1 + \gamma R_i) X_1(R_i) \left( \frac{h}{R_i} \frac{dR_i}{dx} \right) = \frac{2 \alpha_{ws}}{\alpha_{ws}} X_1(R_i) + 3 \frac{\alpha_{ws}}{\alpha_{ws}} R_i \tan \theta \cdot \Omega_1(R_i) - 3 \Omega_2(R_i) \frac{C_f}{2} \cdots \cdots (10)$$

$$\text{ここで}, X_1(R_i) = \{1 + R_i(4r - 4\lambda_1 - 2\lambda_2) + 2\gamma R_i^2(r - \lambda_2)\} / (1 + \gamma R_i)^2, r_3 = \alpha_{ws} / (\alpha_{ws} - \alpha_{ws})$$

$$\Omega_1(R_i) = \left\{ (\alpha_{00} R_i - 2) + 2(\alpha_{01} R_i - r) R_i \right\} / (1+rR_i), \quad \Omega_2(R_i) = (1+2rR_i) / (1+rR_i)$$

また、連行係数は連続の式  $\frac{d}{dx}(\alpha_{01} R_i) = V_e = E_i U_i$  より一般に次式で与えられる。

$$E_i = \frac{dR_i}{dx} \cdot \alpha_{01} = \frac{\alpha_{00} \alpha_{01} R_i \tan \theta - C/2}{\alpha_{00} (1+rR_i)} \alpha_{01} \quad \dots \dots (11)$$

式(10)で  $R_i$  が最終値  $R_{if}$  に達するものとして  $\frac{dR_i}{dx} = 0$  とし、右辺の  $R_i$  を  $R_{if}$  にすると  $R_{if} \tan \theta$  と  $R_i$  すなわち  $R_i$  と  $\theta$  の関係が一義的にきまり、式(11)より  $E_i$  は  $\theta$  の関数として与えられる(図-4,5)。なお、 $\theta = 90^\circ$  の場合には  $R_i = 0$  で  $R_i(\tan \theta)_{\theta=90^\circ} = \sqrt{B_i^2 - R_i^2} = R_{if}$  が理屈を規定するパラメータとなる。また、最終状態の  $R_{if}$ ,  $E_i$  を用いると、傾斜Plumeの確立領域における特性量  $U_i$ ,  $r$ ,  $B_i$  は容易に求まり、それらは次のようである。

$$U_i = \sqrt{N_0 g \alpha_{00}} / R_{if} = \text{const.}, \quad h = E_i (x - x_p) / \alpha_{01} + h_p, \quad B_i = \alpha_{00} / \alpha_{01} \cdot N_0 g / E_i U_i \cdot 1/x$$

#### 4. 実験方法と結果

実験は図-2に示すように傾斜Plumeの実験(RUN-A)と鉛直壁面Plumeの実験(RUN-B,  $\theta = 90^\circ$ )の2つについて行った。

RUN-Aでは排水口付近にPlume水の定常なPoolができるように排水バルブを調整してPlume流量と排水量を算出し、測定は定常にした後排水量及び連行面積(Poolの部分を除く)を計り、連行速度  $V_e$  を求めた。

また、waterblueをtracerとして用いることにより断面最大流速  $U_i$  を求め、Plume出口から100m, 180mの所で採水することによって浮力分布を測定した。

RUN-Bの実験は  $\theta = 90^\circ$  の  $R_{if}$ ,  $E_i$  及び最終状態における  $R_i$ ,  $E_i$  の変化を調べるために行なったもので、Plume幅  $B_i$  については淡水中に投入した色素がPlumeにより巻き込まれた直方向の流速成分が初めて与えられる点と壁面との距離  $r$  を測定し、 $r = 2.1R_i$  の関係からそれを算出した。一方、waterblue及び過マンガン酸カリウムをtracerとして淡水中に投入し、場所ごとの連行速度  $V_e$  を直接測定した。

図-3に測定された浮力分布  $B/B_i$  とwall jetについてSchwarzが測定した流速分布  $U/U_i$  を示した。浮力分布は壁面に対して発達する境界層のなかでは渦動拡散係数が急減するため、さむめて大きな浮力勾配をもつ。図の浮力、流速分布を用いて断面特性値  $\alpha$ ,  $r$ ,  $\alpha_i$ などを計算し、 $R_{if}$  と  $\theta$ との計算値を図-4,  $E_i$  と  $\theta$ との計算値を図-5に示した。両図にはRUN-A,Bの実験値とともにEllison-Turnerの実験値も記入している。図-4の  $R_{if}$  についてはかなり良い一致がみられ、図-5の  $E_i$  に關しては、 $\theta$ の大きいところでEllisonらの実験ではやや過大となっているが、著者の実験値とは良く一致しており、理論はほぼ妥当であると思う。なお、 $\theta$ の小さい部分で  $E_i$  の実験値は理論値に比べやや小さくなっているが、 $\theta$ の小さな場合、最終状態  $R_{if}$ ,  $E_i$  に達するまでの距離が無視できず、遷移領域の影響が表われたものと考えられる。

#### 参考文献

- 1). Ellison T.H. and Turner J.S.; Turbulent entrainment in stratified flow; J.F.M. vol.6, 1959
- 2). 稲東一郎, 小松利光; 2次元表面密度噴流における連行現象; 土木学会論文報告集 第273号, 1978
- 3). Schwarz W.H. and Casper W.P.; The two dimensional turbulent wall jet; J.F.M. vol.10, 1961

